

흰쥐에서 대사작용 억제에 의한 혈중 Mg^{2+} 조절

김종식 · 김상진 · 김진상

전북대학교 수의과대학
(1999년 1월 7일 접수)

Regulation of circulating Mg^{2+} in the rat by metabolic inhibition

Jong-shick Kim, Shang-jin Kim, Jin-shang Kim

College of Veterinary Medicine, Chonbuk National University

(Received Jan 7, 1999)

Abstract : Magnesium (Mg^{2+}) plays an important role in the regulation of a range of intracellular processes. Regulation of extracellular Mg^{2+} contents was studied in the anesthetized Sprague-Dawley (SD) rats. Animals were injected intraperitoneally with sodium nitrite ($NaNO_2$), and circulating Mg^{2+} ($[Mg^{2+}]c$) was measured after the injection and then 10 and 20 minutes later. A dose-dependent increase in $[Mg^{2+}]c$ was observed in animals injected with $NaNO_2$ at a dose of 10mg/kg or higher. Pretreatment with methylene blue prevented the $NaNO_2$ -induced increase in $[Mg^{2+}]c$. $[Mg^{2+}]c$ displayed an inverse linear correlation with hemoglobin and exponential correlation during $NaNO_2$ injection. Injection of KCN or rotenone also induced an increase in $[Mg^{2+}]c$. An increase in $[Mg^{2+}]c$ was observed when respiration rate was reduced from 100/min (140ml/min) to 10/min (14ml/min) during 30 min. These results indicate that changes in $[Mg^{2+}]c$ inversely reflect alteration of ATP in a model of metabolic inhibition.

Key words : magnesium, chemical hypoxia, methemoglobin, sodium nitrate.

서 론

Mg^{2+} 은 생체의 생리적 기능에 필수적인 이온으로 중요한 역할에 대해서는 잘 알려져 있으며^{1,2} 이 중요성이 밝혀짐에 따라 최근에 Mg^{2+} 의 조절에 대한 연구가 활발

해지고 있다. 특히 심장질환의 Mg^{2+} 감소와 관련되는데 이는 Mg^{2+} 이 세포 구성성분에서 Ca^{2+} 길항제로써 작용하기 때문인 듯하다³. 또한 저산소증이나 허혈은 ATP 결핍, 세포내 또는 mitochondria 내의 Ca^{2+} 증가, 세포막 지질파괴 및 자유 radical을 형성함으로써 세포손상을 일으킨다^{4,5}. 이와같이 저산소증이나 허혈이 직접적으로 세포

이 논문은 1999년도 전북대학교 부속 생체안전성연구소 학술연구비의 일부 지원으로 이루어졌음(CNU-BSRI, No. 99-). Address reprint requests to Dr. Jin-shang Kim, College of Veterinary Medicine, Chonbuk National University, Chonbuk 561-756, Republic of Korea(Tel : 82-652-270-2554).

손상을 일으킬 수 있지만 ATP 결핍에 의한 세포내 유리형 Mg^{2+} 이 증가하여 세포밖으로 Mg^{2+} 이 유출된다면 이는 세포내 Mg^{2+} 의 감소에 기인한 Ca^{2+} 의 작용이 강화되어 세포의 손상이 일어날 가능성이 크다. 대부분의 세포내 Mg^{2+} 이 ATP와 결합되어 있기 때문에 ATP 감소는 세포내 Mg^{2+} 농도를 크게 변동시켜 생체의 생리적 기능에 영향을 미친다. 따라서 세포내·외의 Mg^{2+} 농도는 심장질환의 지표가 될 만큼 중요하다.

여러 조직 및 세포에서 ATP 결핍으로 세포내 Mg^{2+} 농도증가가 관찰되었다는 보고^{4~6}는 많지만 세포밖으로의 유출에 대한 보고가 없을 뿐만 아니라 저산소증에 의한 혈중 Mg^{2+} 농도변동에 대해서는 알려진 바 없다. 단지 Scarpa 연구진에 의해서 혈중 Mg^{2+} 농도가 호르몬 자극에 의해 증가됨이 관찰되었고⁷ 이는 조직 및 세포에서 호르몬 자극에 의해 Mg^{2+} 이 유리될 수 있다는 결과^{8,9}로 뒷받침하였다. 또한 생체에서 ATP 결핍에 의한 혈중 Mg^{2+} 농도증가는 조직 또는 세포로부터 Mg^{2+} 의 유리와 일치할 수 있기 때문에 ATP를 변동시킬 수 있는 생리적 조건에 따라 세포내·외의 Mg^{2+} 이 조절될 수 있다. 따라서 세포내 유리형 Mg^{2+} 이 ATP 결핍으로 증가한다는 연구보고^{5,6}를 근거로 대사억제 또는 저산소증시 혈중 Mg^{2+} 의 변동을 관찰하고자 하였다. 조직이나 세포에서 호르몬 자극에 의해서 Mg^{2+} 이 유리된다는 보고^{8~10}는 있지만 세포내 유리형 Mg^{2+} 증가 자체 또는 ionic 전위차에 의한 Mg^{2+} 유리에 대한 보고는 없었다. 따라서 흰쥐에서 저산소증, cyanide 중독증 및 methemoglobin(Met-Hb) 혈증 등에 의한 순환혈액내 Mg^{2+} 변동에 대해 알아보기 위하여 본 연구를 실시하였다.

재료 및 방법

흰쥐 혈액의 채취와 혈장의 분리 : 실험동물은 전북대학교 생체안전성 연구소로부터 구입한 흰쥐(Sprague-Dawley rat, 200~250g)를 실험 90분전에 pentobarbital sodium (30mg/kg)을 복강내 투여하여 마취하고 약 30분 동안 안정시킨 후 대퇴동맥에 catheter를 삽입하여 반복적인 채혈이 용이하도록 하였고 catheter에는 heparin(1000IU/ml)이 함유된 생리식염수를 채워서 혈액응고를 억제하였다. 원활한 산소공급을 위해 기관에 catheter를 삽입하고 rodent ventilator(Harvard, USA)를 설치하여 호흡수 및 호흡량 등을 조절할 수 있도록 하였으며 약물은 대퇴정맥이나 복

장내로 투여하였다. 채혈은 약물투여 10분전부터 매 10분 간격으로 실시하였으며(약물투여 시간은 실험결과에서 0 min으로 표기), 약물투여전 채취한 혈액을 대조액으로 사용하였다.

혈액은 약 0.3ml를 채혈하여 일부(약 200μl)는 Met-Hb의 측정에 사용하였으며 나머지는 즉시 heparin(1000IU/ml)을 가한 Eppendorff centrifuge tube(1.5ml)에 담아 14,000 rpm으로 5분간 원침하여 혈장을 얻었다. 얻은 혈장 50μl를 1.5ml의 10% nitric acid 용액에 혼합하여 10분간 실온에서 방치한 후 침전(1,500rpm, 10분)시켜 혈장내의 단백질 등을 제거한 후 상층액을 채취하였다.

시료의 Mg^{2+} 농도측정 : Mg^{2+} 농도는 상기의 방법에 의해 채취한 상층액에서 원자 흡광 분광광도계(AnaLab 9200A)를 이용하여 파장 285.2nm에서 측정하였다.

혈중 methemoglobin(Met-Hb) 및 헤모글로빈(Hb) 농도측정 : Met-Hb 측정은 Evelyn과 Malloy¹¹의 방법에 의해서 5% PBS 9.8ml에 채혈된 200μl의 혈액을 가하여 잘 혼합하고 이 혼합액을 편의상 각각 A액 그리고 B액으로 5ml씩 나눴다. 2.5% $K_3Fe(CN)_6$ 용액을 20μl 첨가한 B액과 A액에서 분광광도계(Milton Roy, USA)를 이용하여 5% PBS를 대조액으로 하여 630nm에서 흡광도를 측정하였으며 이 값들을 A_1 및 B_1 이라고 하였다. A_1 및 B_1 액에 각각 20μl의 2% KCN을 가하여 잘 혼합한 후 30분간 실온에 방치한 후 이 용액들을 같은 방법으로 2% KCN을 가한 5% PBS를 대조액으로 하여 630nm에서 흡광도를 측정하여 이 값들을 A_2 및 B_2 라고 하였다. 이렇게 하여 측정된 흡광도를 $Met-Hb(\%) = A_1 - A_2/B_1 - B_2 \times 100$ 의 공식에 대입하여 $Met-Hb(\%)$ 농도를 산출하였다.

혈중 Hb 측정은 Tietz¹²의 방법에 의해서 5ml Drabkin 용액에 혈액 20μl를 첨가하고 잘 혼합하여 10분간 상온에서 방치한 후 원침하여(3,000rpm, 10분) 상층액을 취하고 이를 분광광도계를 이용하여 540nm에서 흡광도를 측정하였다. Hb 농도는 흡광도(540nm)값 / 0.0295(Hb 상수)로 환산하여 g/100ml로 표기하였다.

사용약물 : Rotenone, methylene blue, KCN, NaCN 및 $NaNO_2$ 등은 Sigma Co.로부터 구입하여 사용하였다.

통계처리 : 실험성적은 Mean \pm SEM으로 나타냈고 각 군간의 유의성 검정은 Student's t-test에 의해 분석하였다.

결 과

NaNO_2 가 흰쥐의 혈중 Mg^{2+} 농도에 미치는 영향 : Fe^{3+} 이온을 가진 methemoglobin(Met-Hb)은 산소 운반능력이 없기 때문에 조직 및 세포에 저산소증이 나타날 수

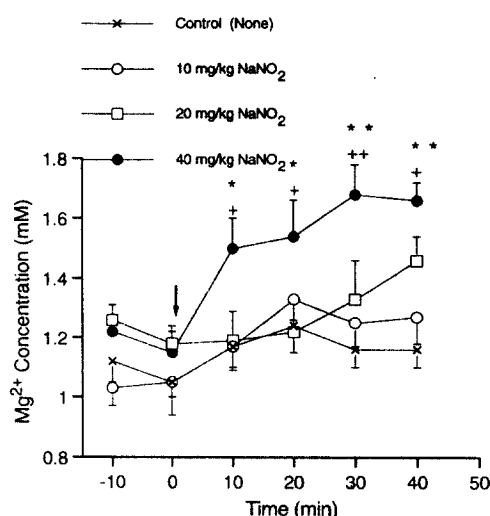


Fig 1. Time course of changes in $[Mg^{2+}]_c$ induced by sodium nitrite in the anesthetized rat. Arrow indicates the time of injection of sodium nitrite(I.P.). Data are expressed as mean \pm SEM of 4 experiments. * $p < 0.05$, ** $p < 0.01$ vs. 0 minute value; * $p < 0.05$, ** $p < 0.01$ vs. corresponding values with the control time points.

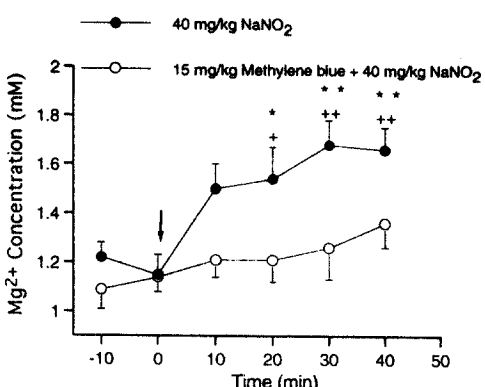


Fig 2. Change in $[Mg^{2+}]_c$ induced by injection of sodium nitrite in the absence or in the presence of methylene blue pretreatment (I.V.). Arrow indicates the time of injection of sodium nitrite (I.P.). Data are expressed as mean \pm SEM of 4 experiments. * $p < 0.05$, ** $p < 0.01$ vs. 0 minute value; * $p < 0.05$, ** $p < 0.01$ vs. corresponding values with the 40mg NaNO_2 time points.

있다. 따라서 흰쥐에 Met-Hb 혈중을 유발시키는 NaNO_2 (10, 20 및 40mg/kg)를 복강내 투여한 결과 흰쥐의 혈중 Mg^{2+} 농도는 NaNO_2 농도에 의존적으로 증가되었다(Fig 1).

Methylene blue가 NaNO_2 에 의한 혈중 Mg^{2+} 증가에 미치는 영향 : NaNO_2 (40mg/kg)에 의한 혈중 Mg^{2+} 증가 효과는 Met-Hb 혈중 치료제로 알려진 methylene blue(15mg/kg)의 투여에 의해 억제되었다(Fig 2).

NaNO_2 에 의한 혈중 Mg^{2+} 농도증가와 Met-Hb 농도와의 관계 : NaNO_2 (40mg/kg)를 복강내 투여한 후 연속된 채혈에 따른 혈액량 감소와 혈중 Mg^{2+} 농도변동과의 관계를 관찰한 결과 혈액량 감소의 지표인 Hb치는 감소하였으나 혈중 Mg^{2+} 농도는 상반되게 증가하여 이들 관계는 무관함을 알 수 있었고(Fig 3, panel A), 혈중 Met-Hb 농도증가는 혈중 Mg^{2+} 농도증가와 밀접한 관계가 있음을 알 수 있었다(Fig 3, panel B).

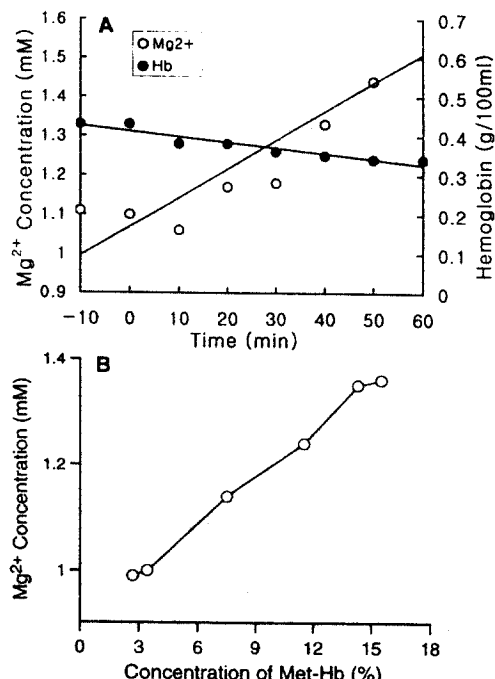


Fig 3. Relation between $[Mg^{2+}]_c$ and hemoglobin concentration (A), $[Mg^{2+}]_c$ and methemoglobin (Met-Hb) concentration (B) in animals injected with sodium nitrite. Arrow indicates the time of injection of sodium nitrite.

혈중 Mg^{2+} 농도에 미치는 세포호흡 억제의 효과 : Cytochrome oxidase 활성을 억제하여 세포내 ATP 감소를

유발시키는 KCN과 전자전달계의 site I 을 억제하는 rotenone을 복강내 투여한 후 혈중 Mg^{2+} 의 농도를 측정한 결과 흰쥐에서 4mg/kg KCN 및 900 μ g/kg rotenone은 혈중 Mg^{2+} 의 농도를 시간에 따라 증가시켰다(Fig 4).

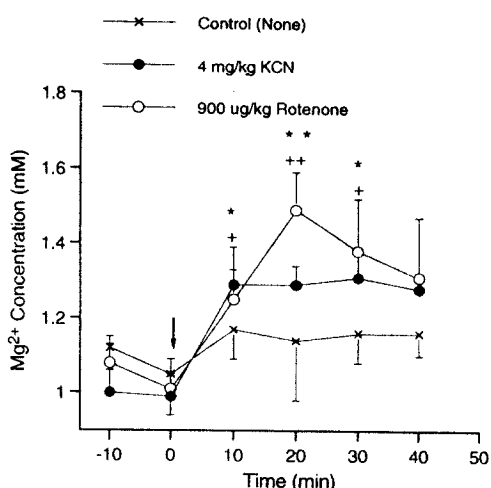


Fig 4. Change in (Mg^{2+})c induced by the infusion of potassium cyanide or rotenone. Arrow indicates the time of injection of chemicals. Data are expressed as mean \pm SEM of 5 experiments. * $p < 0.05$, ** $p < 0.01$ vs. 0 minute value; + $p < 0.05$, ++ $p < 0.01$ vs. corresponding values with the control $NaNO_2$ time points.

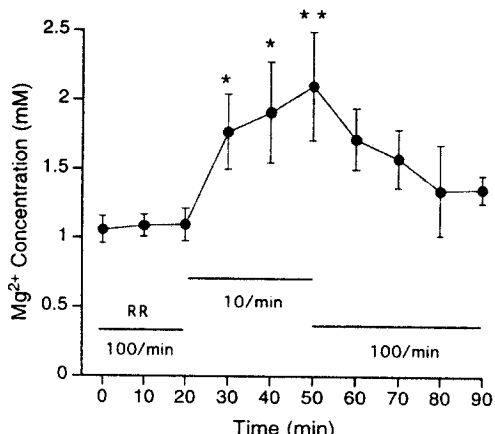


Fig 5. Change in (Mg^{2+})c induced by respiratory hypoxia in the anesthetized rat. Respiration rate (RR) was reduced at 20 min from 100/min to 10/min and returned to 100/min at 50min. Data are expressed as mean \pm SEM of 4 experiments. * $p < 0.05$, ** $p < 0.01$ vs. 0 minute values.

호흡수 변동에 의한 혈중 Mg^{2+} 농도에 미치는 효과 : 흰쥐에 직접적으로 호흡수를 조절하면서 혈중 Mg^{2+} 농도를 측정하였다. 흰쥐의 정상 호흡수, 약 100회/min(140 ml/min)으로 공급하였을 때 보다 약 10회/min(14ml/min)으로 공급하였을 때 혈중 Mg^{2+} 농도는 유의성 있게 증가하였고 다시 정상 호흡수로 전환하여 공급하였을 때 혈중 Mg^{2+} 농도는 감소되었다(Fig 5). 역시 호흡수 감소에 의한 Met-Hb 증가를 육안적으로 관찰할 수 있었다.

고 찰

Mg^{2+} 은 생체내에 필수적인 이온으로써 많은 생리적 역할을 담당하고 있으며 이에 대한 연구는 활발히 진행되었으나^{1,2,13,14} 생체내 Mg^{2+} 의 항상성 유지 및 조절기전에 대해서는 비교적 잘 밝혀져 있지 않다. 몇몇 연구자에 의해 giant cell, bacteria 및 단핵细胞 등에서 Mg^{2+} 농도 조절기전에 대한 연구보고^{5,15}는 있지만 대사억제에 의한 Mg^{2+} 의 조절기전과 *in vivo*에서 혈중 Mg^{2+} 의 농도 변동에 대한 연구는 많지 않다. 특히 세포호흡의 억제는 세포내 유리형 Mg^{2+} 의 증가를 일으키고 이러한 세포내 유리형 Mg^{2+} 의 증가는 세포밖으로의 Mg^{2+} 유동에 관여하는 것으로 알려져²⁵⁻²⁷ 세포호흡의 억제와 혈중 Mg^{2+} 농도와의 관계를 규명하고자 하였다.

생체내의 Mg^{2+} 의 재분배는 간^{8,16}, 심장^{8,9}, 적혈구¹⁷ 및 폐장¹⁸ 등의 세포막을 통하여 빠르게 일어난다. 생체내에서 Mg^{2+} 의 항상성 조절에 대한 연구는 첫째, 세포내 Mg^{2+} 또는 세포내 소기관내의 Mg^{2+} 은 상호 전환이 빠르게 이루어져야 하며 둘째, 세포막을 통한 Mg^{2+} 의 유동은 세포내·외가 서로 대조적인 양상을 나타낼 것이고 셋째, 혈중 Mg^{2+} 농도는 kidney의 여과에 의해 조절됨⁷을 고려해야 하므로 혈중 Mg^{2+} 의 조절부위를 논하기는 어렵다. 따라서 *in vivo* 연구에서 보고⁷된 바와 같이 혈중 Mg^{2+} 의 변동현상만을 제시하고 유리부위를 추론할 수 밖에 없는 단점이 있다. 본 연구에서 Met-Hb 혈중을 유발시키는 $NaNO_2$ 의 처리는 시간에 따라 그리고 농도에 의존적으로 혈중 Mg^{2+} 농도를 증가시켰으며(Fig 1), Met-Hb 혈중 치료제로 알려진 15mg/kg methylene blue의 투여에 의해 혈중 Mg^{2+} 증가효과는 억제되었고(Fig 2) 혈중 Met-Hb 농도와 혈중 Mg^{2+} 증가효과가 상호의존적인 결과임을(Fig 3, panel B) 관찰한 바 Mg^{2+} 증가효과는 $NaNO_2$ 에 의한 직접적인 효과로 생각하기 어렵고 이차적인 Met-

Hb 증가에 기인된 것으로 생각된다. 또한 호흡수의 감소는 혈중 Mg^{2+} 증가효과를 나타냈다(Fig 5). 이는 ischemia, hypoxia시 세포내 유리형 Mg^{2+} 의 증가로^{5,19} 세포막을 통한 Mg^{2+} 유동이 증가하였거나 산소 공급억제 및 ATP 감소 등에 의한 세포의 구조적 변화에 기인될 가능성도 있으나 본 연구로써 확인하기는 어렵다.

세포내에 존재하는 90% 이상의 Mg^{2+} 이 ATP와 결합하고 있기 때문에²⁰ 세포 독성학적으로 세포내 ATP가 감소되는 상태 즉, ischemia, hypoxia 또는 cyanide 중독증과 같은 상황이 유발되면 세포내 유리형 Mg^{2+} 이 증가될 수 있다^{5,6,21}. 세포내 cytochrome oxidase를 억제하는 cyanide 중독시 세포내 ATP는 현저히 감소할 것이고 세포내 유리형 Mg^{2+} 은 증가될 것이다. 세포독성에 의한 ATP 감소가 세포내 유리형 Mg^{2+} 을 현저히 증가시켰고 유리형 Mg^{2+} 은 결합형 Mg^{2+} 보다도 세포막의 통과가 용이하므로 혈중 Mg^{2+} 을 증가시킬 수 있다. 본 실험에서는 세포내 유리형 Mg^{2+} 을 직접적으로 측정할 수 없었으나 간접적으로 ischemic 심장에서 ^{31}P NMR spectroscopy를 이용하여 ATP의 감소를 확인한 바 있고²¹ 최근 Kim et al²²은 NaCN 투여 1분 이내에 약 80% 이상의 세포내 ATP가 감소되어 세포내 유리형 Mg^{2+} 이 증가되고 이러한 유리형 Mg^{2+} 의 증가는 호르몬 자극에 의해 세포외로 유리를 증가시킬 수 있을 것이라고 하였다. 본 실험에서도 세포내 ATP의 생성을 억제하는 cyanide와 rotenone의 투여는 시간에 의존적으로 혈중 Mg^{2+} 농도를 증가시켰다(Fig 4). Cyanide와 rotenone에 의한 혈중 Mg^{2+} 농도의 증가는 심장을 비롯한 모든 세포에서 ATP 생성을 억제하여 혈중 Mg^{2+} 증가시켰을 것이므로 정확한 Mg^{2+} 유리 부위를 논하기는 어렵다. 또한 세포의 Mg^{2+} 의 조절은 강력한 항부정맥제로 작용할 수 있다는 보고²³와 ischemia시 세포내 Ca^{2+} 의 증가로 부정맥이 발생되며 심근경색 및 ischemia 심장에서 세포의 Mg^{2+} 을 증가시켰을 때 부정맥을 억제한다는 보고²⁴⁻²⁶로 미루어 세포내 유리형 Mg^{2+} 의 증가는 세포내 Ca^{2+} 증가에 대해 길항작용을 갖게 됨으로 ischemia 및 hypoxia 시 세포내 유리형 Mg^{2+} 의 증가는 초기에 부정맥을 억제할 수 있으므로 심근세포 및 심장을 보호 할 수 있는 기전으로 추측되나 이에 대한 연구는 더욱 수행하여야 할 것으로 생각된다.

이전 연구와 본 연구를 비교 검토해보면 많은 Mg^{2+} 이 세포내 구성성분에서 ATP와 결합하고 있기 때문에 ATP 감소시 유리형 Mg^{2+} 이 증가될 수 있고 세포내 구성성분

또는 세포밖으로 재분포 될 수 있다. 따라서 Met-Hb 혈증과 대사억제제에 의한 ATP 감소는 세포내 유리형 Mg^{2+} 농도를 증가시킬 수 있고 이 증가된 Mg^{2+} 가 혈중으로 재분포되어 혈중 Mg^{2+} 이 증가된 것으로 사료된다.

결 롬

Mg^{2+} 은 생체의 생리적 기능을 위한 필수적 이온이기 때문에 비록 Mg^{2+} 변동이 소량일지라도 생체에 많은 영향을 미칠 수 있다. 최근 많은 연구자들은 호르몬 또는 병리학적 조건에서 조직 및 세포내의 Mg^{2+} 변동 및 조절 기전에 대한 연구보고를 하였다. 그러나 저산소증에 의한 혈중 Mg^{2+} 변동에 대한 연구보고는 없었다. 세포내 많은 Mg^{2+} 이 ATP와 결합되어 있기 때문에 ATP 결핍시 유리형 Mg^{2+} 이 증가하고 세포내 구성성분으로 재분포 될 수 있다는 이전의 연구를 기초로 본 연구에서는 ATP 감소와 혈중 Mg^{2+} 농도관계를 규명하기 위하여 Met-Hb 혈증, 대사억제제 및 호흡수 감소에 의한 Mg^{2+} 변동을 마취한 흰쥐의 혈장에서 관찰하였다. 혈중 Mg^{2+} 농도는 각각의 50분간 10분 간격으로 채혈한 혈장에서 atomic absorption spectrophotometer를 이용하여 측정하였다. Sodium nitrite(10, 20, 40mg/kg, IP)는 농도에 따라 혈중 Mg^{2+} 농도를 증가시켰고 이러한 Mg^{2+} 농도 증가효과가 Met-Hb 혈증 치료제인 methylene blue에 의해 억제되었다. 연속된 채혈에 의한 혈중 Hb은 시간에 따라 감소하였으나 nitrite에 의한 혈중 Mg^{2+} 농도는 시간에 따라 증가하여 Hb 감소와 혈중 Mg^{2+} 농도와는 무관하였으나 nitrite에 의한 Mg^{2+} 농도 증가효과가 Met-Hb 형성과 매우 밀접함을 알 수 있었다. 이는 Met-Hb 혈증에 의한 ATP 감소에 따른 혈중 Mg^{2+} 농도증가로 추측하고 이를 확인하기 위하여 대사억제제인 KCN과 rotenone(90 μ g/kg, IP) 역시 혈중 Mg^{2+} 농도를 시간에 따라 증가시켰다. 또한 호흡조절기를 이용하여 정상 호흡수(100회/분, 140ml/min)에서 호흡수를 감소(10회/분, 14ml/min) 시켰을 때 역시 혈중 Mg^{2+} 농도와 Met-Hb이 증가하였다.

따라서 상기와 같은 결과에 의하면 Met-Hb 혈증 또는 대사억제제에 의한 혈중 Mg^{2+} 농도 증가효과는 ATP 감소에 의한 결과 즉, 세포내 유리형 Mg^{2+} 농도증가에 의해서 Mg^{2+} 세포밖으로 유출된 결과로 사료된다. 그러나 in vivo 실험이기 때문에 Mg^{2+} 의 유리부위(조직 또는 기관)는 알 수 없다.

참 고 문 헌

1. Grubbs RD, Maguire ME. Magnesium as a regulatory cation: Criteria and evaluation. *Magnesium*, 6:113-127, 1987.
2. White RE, Hartzell HC. Magnesium ions in cardiac function: Regulation of channel and second messengers. *Biochem Pharmacol*, 38:859-867, 1989.
3. Altura BM, Altura BT. New perspectives on the role of magnesium in the pathophysiology of the cardiovascular system. *Magnesium*, 4:226-244, 1985.
4. Kirkels JH, van Echteld CJA, Ruigrok TJ. Intracellular magnesium during myocardial ischemia and reperfusion: possible consequences for postischemic recovery. *J Mol Cell Cardiol*, 21:1209-1218, 1989.
5. Murphy E, Steenbergen C, Levy LA, et al. Cytosolic free magnesium levels in ischemic rat heart. *J Biol Chem*, 264:5622-5627, 1989.
6. Headrick JP, Willis RJ. Cytosolic free magnesium in stimulated, hypoxic and underperfused rat heart. *J Mol Cell Cardiol*, 23:991-999, 1991.
7. Keenan D, Romani A, Scarpa A. Differential regulation of circulating Mg²⁺ in the rat by β_1 - and β_2 -adrenergic receptor stimulation, *Circ Res*, 77:973-983, 1995.
8. Romani A, Marfella C, Scarpa A. Regulation of Mg²⁺ uptake in isolated rat myocytes and hepatocytes by protein kinase C. *FEBS Lett*, 296:135-140, 1992.
9. Romani A, Marfella C, Scarpa A. Regulation of magnesium uptake and release in the heart and in isolated ventricular myocytes. *Cir Res*, 72:1139-1148, 1993.
10. Romani A, Scarpa A. Hormonal control of Mg²⁺ transport in the heart. *Nature*, 346:841-844, 1990.
11. Evelyn KA, Malloy HT. Microdetermination of oxyhaemoglobin in a single sample of blood. *J Biol Chem*, 126:655-662, 1983.
12. Tietz NW. Measurement of haemoglobin concentration in whole blood. In fundamentals in clinical chemistry edited by saunders Co philadelphia. 411-413, 1970.
13. Maguire ME. Hormone-sensitive magnesium transport and magnesium regulation of adenylate cyclase. *Trends Pharmacol Sci*, 5:73-77, 1984.
14. Gunther T. Functional compartmentation of intracellular magnesium. *Magnesium*, 5:53-59, 1986.
15. Snavely MD, Gravina SA, Cheung TBT, et al. Magnesium transport in *Salmonella typhimurium*: Regulation of mgtA and mgtB expression. *J Biol Chem*, 266: 824-829, 1991.
16. Jakob A, Beckert J, Schottli G, et al. α_1 -Adrenergic stimulation causes Mg²⁺ release from perfused rat liver. *FEBS Lett*, 246:127-130, 1989.
17. Feray J, Garay R. Demonstration of a Na⁺:Mg²⁺ exchange in human red cells by its sensitivity to tricyclic antidepressant drugs. *Naunyn-Shimied Arch Pharmacol*, 338:332-37, 1988.
18. Henquin JC, Tamagawa T, Nenquin M, et al. Glucose modulates Mg²⁺ fluxes in pancreatic islet cells. *Nature*, 301:73-74, 1983.
19. Garfinkel L, Altsuld RA, Garfinkel D. Magnesium in cardiac energy metabolism. *J Mol Cell Cardiol*, 18: 1003-1013, 1986.
20. Veloso D, Guynn RW, Oskarsson M, et al. The concentrations of free and bound magnesium in rat tissue. *J Biol Chemistry*, 248:4811-4819, 1973.
21. Kirkels JH, van Echteld CJA, Ruigrok TJ. Intracellular magnesium during myocardial ischemia and reperfusion: possible consequences for postischemic recovery. *J Mol Cell Cardiol*, 21:1209-1218, 1989.
22. Kim JS, Scarpa A. Regulation of magnesium release by cAMP during chemical hypoxia in the rat heart and isolated ventricular myocytes. *Kor J Vet Res*, 38: suppl. 18, 1998.
23. Schneider AJ, Murray WB, Mentzer SC, et al. "Helper": A critical events prompter for unexpected emergencies. *J Clin Monitor*, 11:358-364, 1995.
24. Tosaki A, Das DK. Extracellular Mg²⁺ manipulation prevents the proarrhythmic activity of cromakalim in ischemic/reperfused diabetic hearts. *J Pharmacol Exp Ther*, 282(1):309-17, 1997.
25. Yamamoto K, Bando S. Effects of verapamil and magnesium sulfate on electrophysiologic changes during a-

- cute myocardial ischemia and following reperfusion in dog : comparative effects of administration by intra-venous and coronary sinus retroperfusion routes. *An-giology* , 47(6):557-68, 1996.
26. Prielipp RC, Butterworth JF, Roberts PR, *et al.* Mag-
nesium antagonizes the actions of lysophosphatidyl choline (LPC) in myocardial cells : a possible mechanism for its antiarrhythmic effects. *Anesth Analg* , 80(6): 1083-7, 1995.